

Численно-аналитический метод исследования характеристик ползучести и длительной прочности многослойной оболочки

С. Н. Склепус

Институт проблем машиностроения им. А. Н. Подгорного НАН Украины, Харьков, Украина
ssklepus@rambler.ru

Рассмотрена задача расчета напряженно-деформированного состояния, ползучести и длительной прочности многослойных пологих оболочек средней толщины произвольной формы в плане. Вариационная постановка выполнена в рамках уточненной теории оболочек. Разработан метод решения нелинейной начально-краевой задачи ползучести, базирующийся на совмещении методов R-функций, Ритца и Рунге-Кутта–Мерсона. Приведен пример расчета ползучести и длительной прочности двухслойной цилиндрической оболочки, моделирующей термобарьерное покрытие.

Ключевые слова: многослойная оболочка, термобарьерное покрытие, ползучесть, длительная прочность, метод R-функций.

Введение. Многослойные конструкции широко применяются в современной технике – авиации, ракетостроении, химическом машиностроении и др. При проектировании слоистых конструкций часто приходится решать задачу длительной прочности, в том числе задачу высокотемпературной ползучести. Задачи нелинейного деформирования многослойных конструкций, в частности задачи ползучести, исследованы недостаточно. Это связано не только с математическими трудностями решения нелинейных начально-краевых задач для многослойных систем, но и во многих случаях с отсутствием информации о поведении в условиях ползучести современных конструкционных материалов, из которых состоят слои многослойной оболочки. Большой практический интерес представляет проблема обеспечения необходимой прочности термобарьерных покрытий (thermal barrier coating – ТВС) лопаток газотурбинных двигателей. Как правило, ТВС состоит из слоя пористого керамического покрытия из оксида циркония, стабилизированного оксидом иттрия (YSZ), и слоя из никелевого жаропрочного сплава. Различным аспектам исследования прочности ТВС посвящены многие работы, например [1–7] и др. В то же время вопросы, связанные с деформированием и прочностью ТВС в условиях ползучести, освещены недостаточно.

Цель работы заключается в разработке метода расчета напряженно-деформированного состояния (НДС), высокотемпературной ползучести и длительной прочности многослойных пологих оболочек произвольной формы в плане, а также исследовании качественных и количественных закономерностей деформирования термобарьерных покрытий в условиях ползучести на примере расчета двухслойной оболочки.

Постановка задачи. Метод решения. Рассмотрим в декартовой системе координат $0x_1x_2z$ многослойную изотропную пологую оболочку постоянной толщины h произвольной формы в плане Ω . Количество слоев равно m . Полагаем, что отрыва и проскальзывания между слоями нет. Оболочка находится под действием поперечной нагрузки $q_z = q_z(x_1, x_2, t)$, нормальных и касательных контурных нагрузок $P_n^0(x_1, x_2, t)$, $P_\tau^0(x_1, x_2, t)$, приложенных на части контура $\partial\Omega_p$, а также температурного поля $T = T(x_1, x_2, z, t)$. На оставшейся части контура $\partial\Omega_u$ заданы условия закрепления.

Для постановки задачи будем использовать уточненную теорию оболочек, учитывающую нелинейное распределение поперечных касательных напряжений σ_{i3} ($i = 1, 2$) по толщине [8]. Основные гипотезы уточненной теории записываются следующим образом:

$$\begin{aligned}\sigma_{i3} &= G_{i3}(z)f'(z)\psi_i(x_1, x_2, t); \quad \sigma_{33} = 0; \\ \varepsilon_{33} &= \frac{\partial v_3}{\partial z} = v_{3,3} = 0; \quad v_3(x_1, x_2, z, t) = w(x_1, x_2, t).\end{aligned}$$

Здесь $\psi_i(x_1, x_2, t)$, $i = 1, 2$ – искомые функции сдвига; $f(z) = B_k z^3 + C_k z^2 + D_k z + E_k$, $k = \overline{1, m}$ – функция распределения поперечных касательных напряжений по толщине, коэффициенты которой зависят от номера слоя и учитывают изменение упругих характеристик по всей толщине многослойного пакета.

Компоненты тензора скоростей полных деформаций представим в виде суммы скоростей упругих $\dot{\varepsilon}_{kl}^e$ и температурных $\dot{\varepsilon}_{kl}^T$ деформаций, а также скоростей необратимых деформаций ползучести \dot{p}_{kl} :

$$\dot{\varepsilon}_{kl} = \dot{\varepsilon}_{kl}^e + \dot{\varepsilon}_{kl}^T + \dot{p}_{kl}, \quad k, l = \overline{1, 3},$$

где точка над символами обозначает полную производную по времени t .

Температурные деформации вычисляются по формуле

$$\varepsilon_{kl}^T = \alpha(T - T_0) \delta_{kl},$$

где α – коэффициент линейного температурного расширения, $\alpha = \alpha(z, T)$; T_0 – температура, при которой напряжения и деформации отсутствуют; δ_{kl} – символ Кронекера. Закон изменения температуры $T = T(x_1, x_2, z, t)$ полагаем известным.

Задача ползучести многослойной пологой оболочки в фиксированный момент времени $t \neq 0$ может быть сведена к вариационной задаче для функционала в форме Лагранжа [9]:

$$U(\dot{u}_1, \dot{u}_2, \dot{w}, \dot{\psi}_1, \dot{\psi}_2) = U_1 + U_2. \quad (1)$$

Здесь

$$\begin{aligned}U_1 &= 0,5 \iint_{\Omega} [A_1(\dot{u}_{1,1}^2 + \dot{u}_{2,2}^2 + \dot{w}^2(k_1^2 + k_2^2) + 2\dot{w}(k_1\dot{u}_{1,1} + k_2\dot{u}_{2,2})) + \\ &+ 2A_2(\dot{u}_{1,1}\dot{u}_{2,2} + \dot{w}(k_1\dot{u}_{2,2} + k_2\dot{u}_{1,1}) + k_1k_2\dot{w}^2) + A_3(\dot{u}_{1,2} + \dot{u}_{2,1})^2 - \\ &- 2B_1(\dot{u}_{1,1}\dot{w}_{,11} + \dot{u}_{2,2}\dot{w}_{,22} + \dot{w}(k_1\dot{w}_{,11} + k_2\dot{w}_{,22})) - \\ &- 2B_2(\dot{u}_{1,1}\dot{w}_{,22} + \dot{u}_{2,2}\dot{w}_{,11} + \dot{w}(k_1\dot{w}_{,22} + k_2\dot{w}_{,11})) - \\ &- 2B_3\dot{w}_{,12}(\dot{u}_{1,2} + \dot{u}_{2,1}) + D_1(\dot{w}_{,11}^2 + \dot{w}_{,22}^2) + 2D_2\dot{w}_{,11}\dot{w}_{,22} + D_3\dot{w}_{,12}^2 - \\ &- 2F_1(\dot{w}_{,11}\dot{\psi}_{1,1} + \dot{w}_{,22}\dot{\psi}_{2,2}) - 2F_2(\dot{w}_{,11}\dot{\psi}_{2,2} + \dot{w}_{,22}\dot{\psi}_{1,1}) - 2F_3\dot{w}_{,12}(\dot{\psi}_{1,2} + \dot{\psi}_{2,1}) + \\ &+ 2F_4\dot{\psi}_{1,1}(\dot{u}_{1,1} + k_1\dot{w}) + 2F_4\dot{\psi}_{2,2}(\dot{u}_{2,2} + k_2\dot{w}) + 2F_5\dot{\psi}_{1,1}(\dot{u}_{2,2} + k_2\dot{w}) + \\ &+ 2F_5\dot{\psi}_{2,2}(\dot{u}_{1,1} + k_1\dot{w}) + 2F_6(\dot{u}_{1,2} + \dot{u}_{2,1})(\dot{\psi}_{1,2} + \dot{\psi}_{2,1}) + F_7(\dot{\psi}_{1,1}^2 + \dot{\psi}_{2,2}^2) +\end{aligned}$$

$$\begin{aligned}
& +F_8\dot{\psi}_{1,1}\dot{\psi}_{2,2}+F_9(\dot{\psi}_{1,2}+\dot{\psi}_{2,1})^2+F_{10}(\dot{\psi}_1^2+\dot{\psi}_2^2)-\dot{q}_z\dot{w}]dx_1dx_2- \\
& -\int_{\partial\Omega_p}[\dot{P}_n^0(\dot{u}_1n_1+\dot{u}_2n_2)+\dot{P}_\tau^0(\dot{u}_2n_1-\dot{u}_1n_2)]dS,
\end{aligned} \tag{2}$$

где $\dot{u}_1(x_1, x_2, t)$, $\dot{u}_2(x_1, x_2, t)$, $\dot{w}(x_1, x_2, t)$ – скорости перемещений точек координатной поверхности оболочки вдоль осей $0x_1$, $0x_2$, $0z$ соответственно; $\dot{\psi}_1(x_1, x_2, t)$, $\dot{\psi}_2(x_1, x_2, t)$ – скорости функций сдвига; k_1 , k_2 – главные кривизны координатной поверхности; n_1 , n_2 – направляющие косинусы внешней нормали \mathbf{n} к контуру оболочки $\partial\Omega$. Формулы для вычисления коэффициентов жесткости A_1, \dots, A_3 , B_1, \dots, B_3 , D_1, \dots, D_3 , F_1, \dots, F_{10} приведены ранее [9].

Второе слагаемое в формуле (1) записывается в виде

$$\begin{aligned}
U_2 = & -\iint_{\Omega} (\dot{N}_{11}^F \dot{u}_{1,1} + \dot{N}_{22}^F \dot{u}_{2,2} + \dot{N}_{12}^F (\dot{u}_{1,2} + \dot{u}_{2,1}) - \dot{M}_{11}^F \dot{w}_{,11} - \dot{M}_{22}^F \dot{w}_{,22} - 2\dot{M}_{12}^F \dot{w}_{,12} + \\
& + \dot{R}_{11}^F \dot{\psi}_{1,1} + \dot{R}_{22}^F \dot{\psi}_{2,2} + \dot{R}_{12}^F (\dot{\psi}_{1,2} + \dot{\psi}_{2,1}) + \dot{R}_{13}^F \dot{\psi}_1 + \dot{R}_{23}^F \dot{\psi}_2 + \dot{q}^F \dot{w}) dx_1 dx_2.
\end{aligned} \tag{3}$$

Здесь $\dot{N}_{11}^F, \dots, \dot{N}_{12}^F, \dot{M}_{11}^F, \dots, \dot{M}_{12}^F, \dot{R}_{11}^F, \dots, \dot{R}_{13}^F$ – “фиктивные” силы, обусловленные температурными деформациями и необратимыми деформациями ползучести,

$$\begin{aligned}
\dot{N}_{11}^F &= \int_{(h)} \frac{E}{1-\nu^2} (\dot{e}_{11} + \nu \dot{e}_{22}) dz; \quad \dot{N}_{22}^F = \int_{(h)} \frac{E}{1-\nu^2} (\dot{e}_{22} + \nu \dot{e}_{11}) dz; \quad \dot{N}_{12}^F = 2 \int_{(h)} G \dot{p}_{12} dz; \\
\dot{M}_{11}^F &= \int_{(h)} \frac{Ez}{1-\nu^2} (\dot{e}_{11} + \nu \dot{e}_{22}) dz; \quad \dot{M}_{22}^F = \int_{(h)} \frac{Ez}{1-\nu^2} (\dot{e}_{22} + \nu \dot{e}_{11}) dz; \quad \dot{M}_{12}^F = 2 \int_{(h)} G \dot{p}_{12} z dz; \\
\dot{R}_{11}^F &= \int_{(h)} \frac{Ef}{1-\nu^2} (\dot{e}_{11} + \nu \dot{e}_{22}) dz; \quad \dot{R}_{22}^F = \int_{(h)} \frac{Ef}{1-\nu^2} (\dot{e}_{22} + \nu \dot{e}_{11}) dz; \\
\dot{R}_{12}^F &= 2 \int_{(h)} G f' \dot{p}_{12} dz; \quad \dot{R}_{13}^F = 2 \int_{(h)} G f' \dot{p}_{13} dz; \quad \dot{R}_{23}^F = 2 \int_{(h)} G f' \dot{p}_{23} dz; \\
\dot{q}^F &= \int_{(h)} \frac{E}{(1-\nu^2)} (k_1 (\dot{e}_{11} + \nu \dot{e}_{22}) + k_2 (\dot{e}_{22} + \nu \dot{e}_{11})) dz,
\end{aligned}$$

где $\dot{e}_{11} = \dot{p}_{11} + \dot{\epsilon}_{11}^T$; $\dot{e}_{22} = \dot{p}_{22} + \dot{\epsilon}_{22}^T$; $E = E(z, T)$, $\nu = \nu(z, T)$, $G = G(z, T)$ – модуль Юнга, коэффициент Пуассона и модуль сдвига, которые зависят от номера слоя и являются в общем случае непрерывными функциями координаты z и температуры в пределах каждого слоя.

В представленном формулами (1)–(3) функционале функции $\dot{u}_1(x_1, x_2, t)$, $\dot{u}_2(x_1, x_2, t)$, $\dot{w}(x_1, x_2, t)$, $\dot{\psi}_1(x_1, x_2, t)$, $\dot{\psi}_2(x_1, x_2, t)$ должны удовлетворять кинематическим граничным условиям на $\partial\Omega_u$, а скорости деформаций ползучести считаются заданными и не варьируются.

Основные неизвестные начально-краевой задачи ползучести в момент времени $t \neq 0$ могут быть найдены из решения задачи Коши во времени для системы уравнений:

$$\left\{ \begin{array}{l} \frac{du_1}{dt} = \dot{u}_1; \quad \frac{du_2}{dt} = \dot{u}_2; \quad \frac{dw}{dt} = \dot{w}; \quad \frac{d\psi_1}{dt} = \dot{\psi}_1; \quad \frac{d\psi_2}{dt} = \dot{\psi}_2; \\ \frac{d\varepsilon_{11}}{dt} = \dot{u}_{1,1} + k_1 \dot{w} - z \dot{w}_{,11} + f \dot{\psi}_{1,1}; \quad \frac{d\varepsilon_{22}}{dt} = \dot{u}_{2,2} + k_2 \dot{w} - z \dot{w}_{,22} + f \dot{\psi}_{2,2}; \\ \frac{d\gamma_{12}}{dt} = \dot{u}_{1,2} + \dot{u}_{2,1} - 2z \dot{w}_{,12} + f(\dot{\psi}_{1,2} + \dot{\psi}_{2,1}); \quad \frac{d\gamma_{13}}{dt} = f \ddot{\psi}_1; \quad \frac{d\gamma_{23}}{dt} = f \ddot{\psi}_2; \\ \frac{d\sigma_{11}}{dt} = \frac{E}{1-\nu^2} [\dot{\varepsilon}_{11} + \nu \dot{\varepsilon}_{22} - (\dot{e}_{11} + \nu \dot{e}_{22})]; \\ \frac{d\sigma_{22}}{dt} = \frac{E}{1-\nu^2} [\dot{\varepsilon}_{22} + \nu \dot{\varepsilon}_{11} - (\dot{e}_{22} + \nu \dot{e}_{11})]; \\ \frac{d\sigma_{12}}{dt} = G(\dot{\gamma}_{12} - 2\dot{p}_{12}); \quad \frac{d\sigma_{13}}{dt} = G(\dot{\gamma}_{13} - 2\dot{p}_{13}); \quad \frac{d\sigma_{23}}{dt} = G(\dot{\gamma}_{23} - 2\dot{p}_{23}); \\ \frac{dp_{11}}{dt} = \dot{p}_{11}; \quad \frac{dp_{22}}{dt} = \dot{p}_{22}; \quad \frac{dp_{12}}{dt} = \dot{p}_{12}; \quad \frac{dp_{13}}{dt} = \dot{p}_{13}; \quad \frac{dp_{23}}{dt} = \dot{p}_{23}. \end{array} \right. \quad (4)$$

Определяющие уравнения для скоростей деформаций ползучести, которые входят в уравнения (4), будут конкретизированы ниже.

Начальные условия для неизвестных функций в момент времени $t = 0$ находятся из решения задачи упругого деформирования оболочки. Для решения задачи может быть использован приведенный выше функционал. При этом в формулах (2), (3) необходимо производные функций по времени заменить самими функциями, а при вычислении “фиктивных” сил положить $\dot{p}_{11} = \dot{p}_{22} = \dot{p}_{12} = \dot{p}_{13} = \dot{p}_{23} = 0$.

Для интегрирования уравнений (4) используем метод Рунге–Кутта–Мерсона (РКМ) с автоматическим выбором шага. Вариационные задачи для функционала Лагранжа (1) в моменты времени, которые отвечают схеме метода РКМ, решаем методом Ритца. При этом координатные функции, точно удовлетворяющие заданным граничным условиям, строятся с помощью метода R -функций [10], который позволяет учитывать геометрию области, где отыскивается решение, и граничные условия самого общего вида. При этом приближенное решение краевой задачи представляется в виде формулы – структуры решения, которая удовлетворяет всем (общая структура решения) или части (частичная структура решения) граничных условий. Вид структуры решения является инвариантным по отношению к форме области.

Численные результаты. Рассмотрим ползучесть прямоугольной ($a \times b$) двухслойной цилиндрической оболочки, находящейся под действием равномерно распределенной поперечной нагрузки, при температуре $T = 800^\circ\text{C}$. Температура, при которой напряжения и деформации отсутствуют, составляет 1000°C . Первый, или наружный слой выполнен из диоксида циркония, стабилизированного иттрием (8YSZ), второй, внутренний слой – из никелевого жаропрочного сплава René 80. Модули Юнга и коэффициенты Пуассона материалов слоев при $T = 800^\circ\text{C}$ таковы [7]: $E_1 = 1,539 \cdot 10^5$ МПа, $\nu_1 = 0,27$, $E_2 = 1,458 \cdot 10^5$ МПа, $\nu_2 = 0,3$. Предел прочности при сжатии $\sigma_{\text{в}}^-$ материала 8YSZ при $T = 800^\circ\text{C}$ составляет 565 МПа [11]. Коэффициенты линейного температурного расширения при $T = 800^\circ\text{C}$ следующие [7]: $\alpha_1 = 11,0 \cdot 10^{-6} \text{ }^\circ\text{C}^{-1}$, $\alpha_2 = 15,1 \cdot 10^{-6} \text{ }^\circ\text{C}^{-1}$. Толщина слоев: $h_1 = 2,5 \cdot 10^{-3}$ м, $h_2 = 2,25 \cdot 10^{-2}$ м. Размеры оболочки в плане: $a = 0,2$ м, $b = 0,1$ м. Главные кривизны: $k_1 = 0$, $k_2 = 6 \text{ m}^{-1}$. Интенсивность поперечной нагрузки $q_z = 45$ МПа.

Закон одноосной ползучести для материалов слоев, составляющих оболочку, имеет вид [7]

$$p^{(i)} = A_i t^{m_i} \sigma^{n_i}, \quad i = 1, 2$$

со следующими значениями констант: $A_1 = 1,26 \cdot 10^{-12}$ МПа $^{-n_1} \cdot$ ч $^{-m_1}$; $m_1 = 1$; $n_1 = 1,475$ (8YSZ) и $A_2 = 7,172 \cdot 10^{-20}$ МПа $^{-n_2} \cdot$ ч $^{-m_2}$; $m_2 = 0,246$; $n_2 = 6,328$ (René 80).

Для сложного напряженного состояния определяющие соотношения ползучести записываются в виде

$$\dot{p}_{kl}^{(i)} = \frac{3}{2} m_i A_i t^{m_i-1} \sigma_i^{n_i-1} s_{kl}, \quad i = 1, 2,$$

где σ_i – интенсивность напряжений,

$$\sigma_i = \sqrt{\sigma_{11}^2 + \sigma_{22}^2 - \sigma_{11}\sigma_{22} + 3\sigma_{12}^2 + 3\sigma_{13}^2 + 3\sigma_{23}^2}; \quad s_{kl} = \sigma_{kl} - \frac{1}{3}(\sigma_{11} + \sigma_{22})\delta_{kl}.$$

На краях оболочки заданы условия закрепления, соответствующие свободному опираннию. Кинематическое граничное условие, соответствующее таким условиям, имеет вид

$$\dot{w} = 0. \quad (5)$$

Структуру решения, удовлетворяющую условию (5), можно представить так:

$$\dot{w} = \omega \Phi_1,$$

где $\omega = \omega_1 \wedge_0 \omega_2 = \omega_1 + \omega_2 - \sqrt{\omega_1^2 + \omega_2^2}$ – R-конъюнкция [10]; $\omega_1 = \frac{1}{b} \left(\frac{b^2}{4} - x_2^2 \right)$; $\omega_2 = \frac{1}{a} \left(\frac{a^2}{4} - x_1^2 \right)$. Функция ω удовлетворяет условиям: $\omega = 0$, $\omega_{,n} = -1$ на $\partial\Omega$, $\omega > 0$ внутри области Ω .

Структуры решения для остальных неизвестных функций имеют вид

$$\dot{u}_1 = \Phi_2; \quad \dot{u}_2 = \Phi_3; \quad \dot{\psi}_1 = \Phi_4; \quad \dot{\psi}_2 = \Phi_5,$$

где Φ_i , $i = \overline{1, 5}$ – неопределенные компоненты структуры решения.

Формулировки более сложных граничных условий и соответствующие им частичные и полные структуры решения приведены [12].

При численной реализации учитывается симметрия задачи. Неопределенные компоненты представим в виде конечных рядов:

$$\Phi_i(x) \approx \Phi_{iN}(x) = \sum_{k=1}^{N_i} C_k^{(i)} \varphi_k(x_1, x_2), \quad i = \overline{1, 5},$$

где $C_k^{(i)}$ – неопределенные коэффициенты, которые находятся по методу Ритца, а в качестве $\{\varphi_k\}$ выбраны степенные полиномы вида $x_1^m x_2^n$. Максимальные степени полиномов в структурах решения для Φ_1 составляют 14, для Φ_i ($i = \overline{2, 5}$) – 11. Для интегрирования по области Ω и по толщине используются формулы Гаусса. При вычислении элементов матрицы Гаусса количество узлов интегрирования по четверти области равно 288. Точность решения задачи Коши по времени составляет $\delta = 0,01$.

Расчеты проводились как с учетом ползучести в слое, выполненном из керамического материала 8YSZ, так и без учета.

На рис. 1 показан рост прогиба с течением времени в центре оболочки. На рис. 2 представлено изменение во времени интенсивности напряжений σ_i в центре, а также на внешней и внутренней поверхностях оболочки.

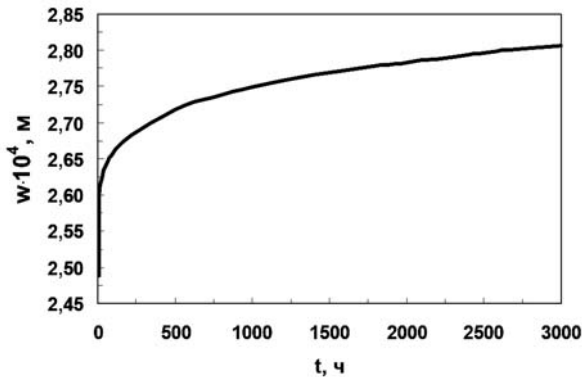


Рис. 1. Прогиб в центре оболочки.

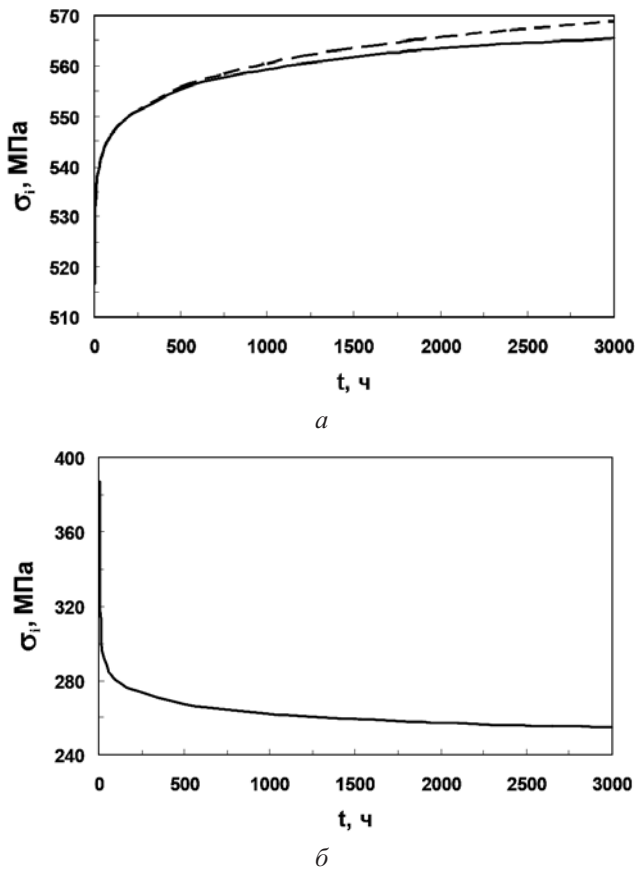


Рис. 2. Интенсивность напряжений в центре на внешней (а) и внутренней (б) поверхностях оболочки. (Штриховая линия – результаты расчетов, полученные на внешней поверхности оболочки без учета ползучести в наружном слое, сплошные – результаты, полученные с учетом ползучести в обоих слоях.)

Определим критическое время t_* из условия достижения интенсивностью напряжений в какой-либо точке оболочки некоторого предельного значения σ_* , которое является характеристикой материала: $\sigma_i = \sigma_*$. В данном случае полагаем $\sigma_* = \sigma_{\text{в}}^- = 565$ МПа.

Из рис. 2 видно, что на внешней поверхности оболочки интенсивность напряжений возрастает, на внутренней – происходит релаксация. Было определено критическое время t_* , составляющее 2652 ч при учете ползучести в обоих слоях и 1833 ч без учета ползучести в наружном слое.

Рис. 3 иллюстрирует распределение нормальных напряжений σ_{11} , σ_{22} по толщине в центре оболочки. Там же кривыми 1 показаны остаточные температурные напряжения, возникающие в оболочке при охлаждении после технологических операций, которые включают термические циклы, связанные с изготовлением многослойного пакета. Эти напряжения будут присутствовать и при рабочих температурах, которые, как правило, ниже температуры технологических операций. При имеющемся уровне остаточных напряжений ползучесть материалов слоев не наблюдается.

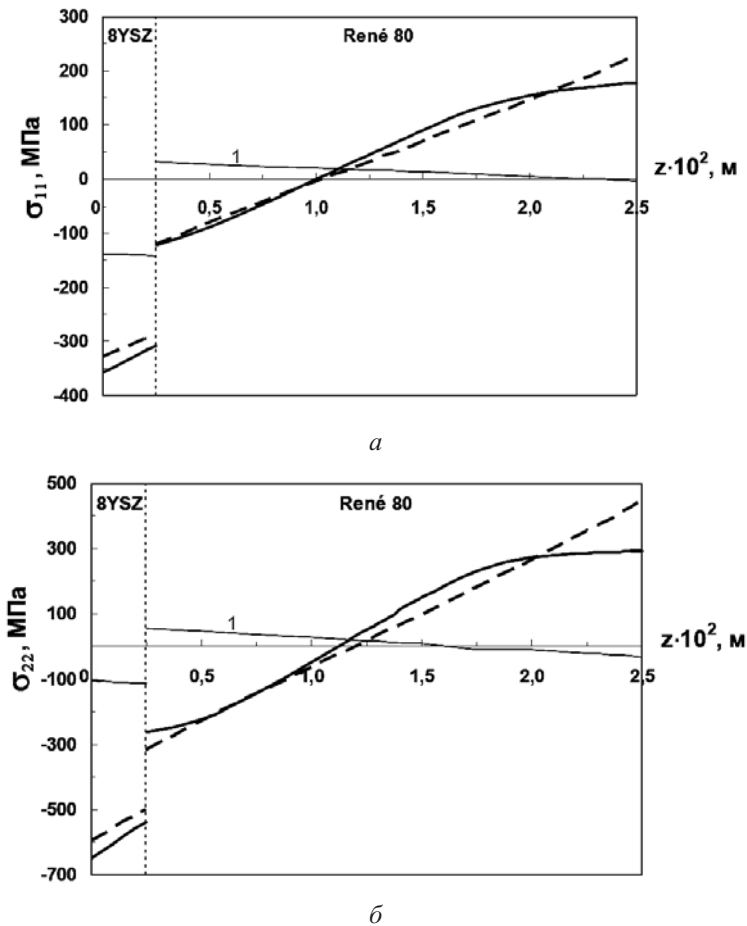


Рис. 3. Распределение напряжений σ_{11} (а) и σ_{22} (б) по толщине в центре оболочки. (Штриховые линии – напряжения в начальный момент времени, сплошные – при $t = t_* = 2652$ ч.)

Из рис. 3 видно, что со временем происходит перераспределение напряжений по толщине оболочки. В слое из материала 8YSZ абсолютные значения напряжений

возрастают по всей толщине, в то время как в слое из никелевого сплава René 80 максимальные напряжения на внутренней поверхности и вблизи нее со временем уменьшаются, а напряжения в остальных точках незначительно увеличиваются.

Выводы

1. Разработан численно-аналитический метод расчета напряженно-деформированного состояния, ползучести и длительной прочности слоистых пологих оболочек произвольной формы в плане.
2. Исследована ползучесть двухслойной цилиндрической оболочки.
3. Показано, что из-за разницы коэффициентов линейного температурного расширения материалов слоев в оболочке возникают остаточные температурные напряжения, которые при дальнейшем нагружении конструкции механическими нагрузками вносят вклад в напряженное состояние. В процессе ползучести в оболочке происходит перераспределение напряжений. Вследствие интенсивной ползучести в одном из слоев в другом слое абсолютные значения напряжений увеличиваются, что может привести к преждевременному разрушению.

Резюме

Розглянуто задачу розрахунку напруженено-деформованого стану, повзучості та тривалої міцності багатошарових пологих оболонок середньої товщини довільної форми в плані. Варіаційну постановку виконано в рамках уточненої теорії оболонок. Розроблено метод розв'язку нелінійної початково-крайової задачі повзучості, який базується на поєднанні методів R -функцій, Рітца та Рунге-Кутта–Мерсона. Наведено приклад розрахунку повзучості та тривалої міцності двошарової циліндричної оболонки, що моделює термобар'єрне покриття.

1. Evans A. G., Mumm D. R., Hutchinson J. W., et al. Mechanisms controlling the durability of thermal barrier coatings // Prog. Mater. Sci. – 2001. – **46**, No. 5. – P. 505–553.
2. Cunha F. J., Dahmer M. T., and Chyu M. K. Thermal-mechanical life prediction system for anisotropic turbine components // J. Turbomach. – 2006. – **128**, No. 2. – P. 240–250.
3. Zolochovsky A., Sergienko N., Eremenko S., and Kuhhorn A. Constitutive and numerical modeling of chemical and mechanical phenomena in thermal barrier coatings for gas turbine blades of aircraft engines // Вестн. НТУ “ХПІ”. Сер. Транспортное машиностроение. – 2010. – № 38. – С. 99–109.
4. Яковчук К. Ю., Рудой Ю. Э., Оноприенко Е. В., Малышева Е. Г. Влияние защитных покрытий на механические свойства сплава ЖС32-ВИ // Пробл. прочности. – 2010. – № 3. – С. 151–163.
5. Caliez M., Feyel F., Kruch S., and Chaboche J.-L. Oxidation induced stress fields in an EB-PVD thermal barrier coating // Surf. Coat. Tech. – 2002. – **157**, No. 2. – P. 103–110.
6. Caliez M., Chaboche J.-L., Feyel F., and Kruch S. Numerical simulation of EBPVD thermal barrier coatings spallation // Acta Mater. – 2003. – **51**, No. 4. – P. 1133–1141.
7. Zolochovsky A., Galishin A., Sklepus S., et al. Benchmark creep tests for thermal barrier coating // Вісн. НТУ “ХПІ”. – 2013. – № 23 (996). – С. 159–179.
8. Рассказов А. О., Соколовская И. И., Шульга Н. А. Теория и расчет слоистых ортотропных пластин и оболочек. – Киев: Вища шк., 1986. – 191 с.

9. Склепус С., Склепус О. Повзучість та пошкоджуваність багатошарових пологих оболонок середньої товщини // Машинознавство. – 2012. – № 2 (176). – С. 3–7.
10. Рвачев В. Л. Теория R-функций и некоторые ее приложения. – Киев: Наук. думка, 1982. – 552 с.
11. Брусенцов В. П., Куранов В. В., Брусенцов А. В. и др. Исследование прочности твердооксидных топливных элементов пластинчатой формы // Твердооксидные топливные элементы. – Снежинск: Изд. РФ ЯЦ-ВНИИТФ, 2003. – С. 233–240.
12. Золочевский А. А., Склепус А. Н., Склепус С. Н. Нелинейная механика деформируемого твердого тела. – Харьков: Бізнес Інвестор Груп, 2011. – 720 с.

Поступила 16. 07. 2015